

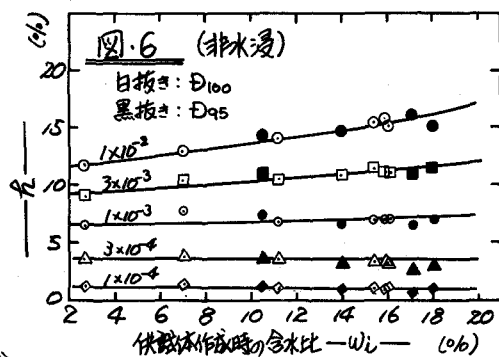
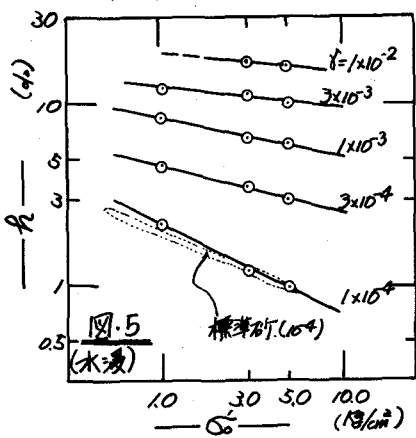
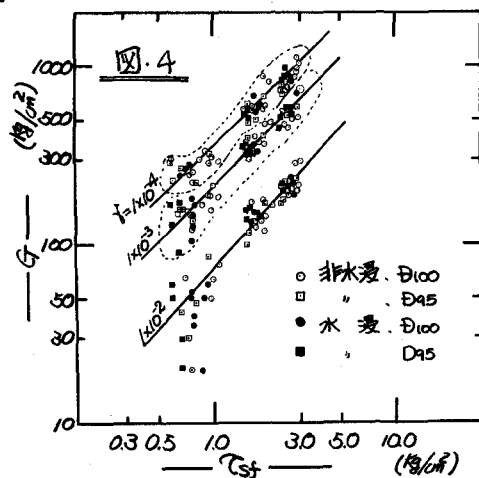
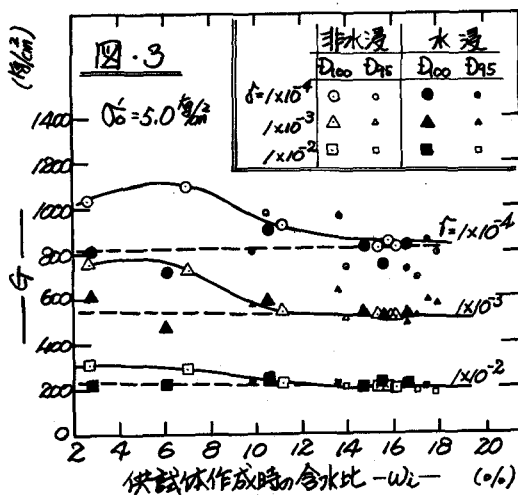
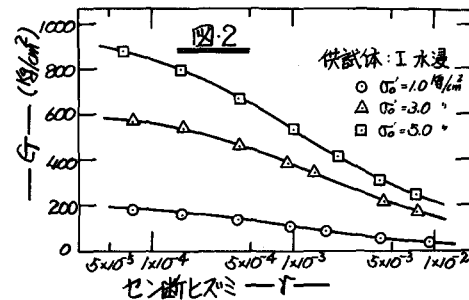
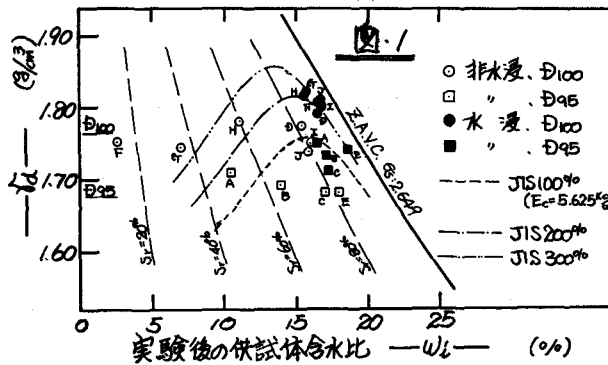
1.はじめに　近年、土質構造物の耐震設計法の開発に関連して土の動的変形特性に関する研究が盛んに行はれ、この結果砂質土のセン断弾性係数( $G$ )はセン断ひずみ( $\gamma$ )、拘束圧( $G_0$ )および含水比( $w$ )の関数として表わし得ることが知られる。ところが、ダムや河川堤防の堤体の締固めは土を転圧することによって行はれる。この場合、 $G$ は上記の要因以外に締固め現象に関連した種々の要因による影響を受けると考えられる。また、この種の構造物は、その完成後常時飽和状態となる部分が存在する場合があり、飽和することによる堤体材料の $G$ の変化も考えられる。そこで、ダム材料を対象として締固め砂質土の $G$ と $w$ ・ $G_0$ ・ $w$ ・ $G_{sf}$ の影響を調べた結果を示した。さうして、 $G$ と静的せん断強度( $G_{sf}$ )の関係として表わし得ることを示した。なお、減衰定数( $\alpha$ )についても若干の結果を示した。

2. 試料および実験　試料の粒度組成は、砂分82.5% シルト分10.5% 滅土分7.0% であり、三角座標分類では砂に属する。また、最大粒径 $Z_{max} = 2.649$ ,  $D_{50} = 37$ ,  $D_{100} = 0.38$ である。供試体の作成は $z=1.9$ 付近の範囲の10種類の含水比で、JIS締固め( $G_0 = 5.65 \text{ kg/cm}^2$ )と $z=3$ 最大乾燥密度( $D_{100}, F, G, H, I, J$ 供試体)と $z=95\%$ の密度( $D_{45}, A, B, C, E$ 供試体)と $z=3$ 圧縮機 $K$ より締固めて行なった。実験は振動三輪試験機を用いて行はり、上記の方法によって作成したA~J供試体を水浸させない場合について行はった。実験時の有効拘束圧( $G_0$ )は1.0, 3.0および5.0 $\text{kg/cm}^2$ の3種類とし、排水状態で繰返し載荷(軸位幅一定,  $f=2\text{ Hz}$ , 正弦波, 載荷回数40回)を供試体 $K$ 与えた。

3. 実験結果および考察　実験後の供試体の含水比( $w$ )との関係を図1に示す。図中白抜きの記号は非水浸供試体、黒抜きの記号は水浸供試体の結果である。同一密度( $z=1.9$ :  $D_{100}$ ,  $\square$ ;  $D_{45}$ )とするよう締固められが部分バラッキがある。このA~Jの水浸および非水浸供試体の $G$ と $w$ の関係から(図2にその1例を示す)、 $G$ は $w$ および $G_0$ の低下 $K$ 伴ない低下するこれが認められる。また、 $\log G - \log w$ 関係において兩者 $K$ 直線関係が認められ一般に知られている様に、 $G = A(w)^{B(G_0)}$ が成立することが確かめられた( $A, B$ の値は各供試体 $K$ における実験値を示す)。供試体作成時の含水比( $w_i$ )と $G$ の関係を図3に示す。 $D_{100}$ の結果によれば以下の事が知られる。非水浸供試体の $G$ は $w_i$ の低下 $K$ 伴ない増大する傾向が明らかである(実線)。これは図1の締固め曲線から知られる様に含水比の低い供試体ほど締固め時のエネルギーが大きいためによるものと考えられる。一方、水浸供試体ではバラッキはあるが $G$ は $w_i$ と関係なくほぼ一定値を示している様である(破線)。これは水浸によって土粒子の骨格構造が変化し一定の骨格強度を失つたためと考えられる。また、水浸の影響 $K$ する $G$ の低下は低含水比で著しいが高含水比ではほとんど認められない。この理由として高含水比の結果は締固め時の含水比が最適含水比附近にあり、土粒子は水浸により飽和しても安定して粒子構造を保持したことによるものと考えられる。また、 $D_{45}$ の結果によればはつきりとした傾向は認められない。しかしながら大きな範囲では密度の差による $G$ の違いはないようである。静的せん断強度( $G_{sf}$ )は $w$ および締固めに関連した種々の要因と密接な関係にあると考えられる。そこで、各ヒズミレベル $K$ における $G$ と静的せん断強度 $G_{sf}$ から求めた同一条件における $G_{sf}$ の関係を求めた。この結果は図4のようであり $G$ と $G_{sf}$ は比例関係にある。従って、 $G = K \cdot G_{sf}^n$  ( $K, n$

はよりの関数)より実験式が得られる。今後本式の適用範囲の検討が必要であるが簡便的K<sub>C</sub>を推定する実験式として有効であると考えられる。

水浸供試体の減衰定数(δ)はすとひくK依存し、すとひくの関係は図1のすとひくで示す。一方、非水浸供試体ではひくK関係ではなくは一定の値となりひくの依存性は認められてい。しかし、図6K<sub>C</sub>はすとひくで $10^{-3}$ のビズミレベルではW<sub>I</sub>の増大K伴ってが増大している。この結果より、綿固め砂のたはひくよりむしろE<sub>C</sub>の影響を強く受けようである。しかし、一旦水浸レバ供試体ではE<sub>C</sub>の影響はほとんどなくなりたはすとひくの関数として表わす簡単K乱れK試料と同様の特性を示すと考えられる。



### 参考文献

- 1) H.B.Seed & I.M.Idriss (1970): SOIL MODULI AND DAMPING FACTORS FOR DYNAMIC RESPONSE ANALYSES. EERC. 70-10.
- 2) 岩村・大根・成田 (1979): 綿固め砂質土の液状化特性、土壤学会第24回年講。
- 3) 若浦・龍國吉田 (1977): 地盤の動的変形特性に関する実験的研究(1), 土木研究所報告。